

## КРАТКИЕ СООБЩЕНИЯ

06; 07; 12

Журнал технической физики, т. 60, в. 7, 1990

© 1990 г.

### ВЛИЯНИЕ ПРИМЕСИ МОЛИБДЕНА В ПЛЕНКЕ ТРИОКСИДА ВОЛЬФРАМА НА ХАРАКТЕРИСТИКИ ТВЕРДОТЕЛЬНОГО ЭЛЕКТРОХРОМНОГО УСТРОЙСТВА

П. Д. Цикмач, Ю. А. Бендерс, Я. Я. Клеперис, А. Р. Лусис

#### Введение

В последние годы возрос интерес к твердотельным электрохромным устройствам (ЭХУ), связанным с возможностью их использования в качестве пассивных линейных, цифробуквеных индикаторов, плоских экранов информации, модуляторов света и т. п. [1–5]. Успехи в изучении физических явлений в твердотельных ЭХУ на основе аморфных пленок триоксида вольфрама ( $WO_3$ ) [4, 5] предопределили следующий этап исследований в улучшении функциональных параметров устройств — повышении электрохромной эффективности, снижении значений пороговых напряжений окрашивания и обесцвечивания, увеличении долговечности в циклическом режиме работы. Электрохромная эффективность устройства  $\beta$  определяется отношением наведенной оптической плотности  $\Delta D$  к заряду  $\Delta Q$ , инжектированному в пленку во время окрашивания,

$$\beta = \frac{\Delta D}{\Delta Q} , \quad (1)$$

и является функцией от напряжения управления и длины волн света, при которой контролируется светопропускание ЭХУ. Максимум спектральной чувствительности человеческого глаза находится при 2.2 эВ, когда максимум полосы наведенного поглощения в пленке  $WO_3$  расположен в области 1.3 эВ. Следовательно, максимальное изменение  $\Delta D$  для ЭХУ такого вида сдвинуто по сравнению с человеческим зрением на 1 эВ. Один путь увеличения эффективности ЭХУ — совмещение максимума полосы наведенного оптического поглощения с областью максимальной чувствительности зрения. Попытки таких экспериментов проводились рядом авторов путем введения в триоксид вольфрама примеси молибдена [6–9] или золота [10]. Исследовались некоторые свойства смешанных оксидов вольфрама и молибдена [7, 8, 11], однако недостаточно изучены характеристики конкретных твердотельных устройств на основе пленки  $WO_3$  с примесью молибдена.

В настоящей работе впервые обсуждаются результаты исследования электрохромных характеристик твердотельных ЭХУ на основе смешанных оксидов вольфрама и молибдена. Для сравнения приводятся результаты исследований твердотельный ЭХУ с пленками  $WO_3$  и  $MoO_3$  без специально введенных примесей.

#### Методика и образцы

Исследовались твердотельные ЭХУ системы Деба [12]  $ITO/MoO_3/SiO_x/Au$ , где ITO — пленка прозрачного проводящего электрода оксида индия;  $MoO_3$  — пленка электрохромного материала, которая получалась термическим испарением твердых растворов оксидов  $xMoO_3 (1-x) WO_3$  ( $0 \leq x \leq 10$  мол. %), синтезированных в закрытых кварцевых ампулах. Методика получения разных пленок ЭХУ описана в [4, 5], кроме пленки  $MoO_3$ , которая наносилась на неподогретую подложку, чтобы избежать ее интенсивного начального окрашивания. Во всех случаях испарение электрохромного материала производилось из tantalового испарителя.

Измерения вольт-амперных и вольт-светопропускных характеристик (ВАХ и ВСПХ соответственно) осуществлялось на электрохимической системе PAR173 с цифровым кулонометром PAR179 и универсальным программным устройством PAR175, дополненной оптическим

каналом, состоящим из источника света, и устройством регистрации через ЭХУ проходящего света. Кривые ВАХ и ВСПХ, а также заряд-потенциал и заряд-светопропускание регистрировались одновременно двумя двухкоординатными самоизищущими приборами. Оптические спектры поглощения измерялись на двухлучевом спектрофотометре фирмы BECKMAN (модель АСТА MVII). Все измерения проводились при комнатной температуре и относительной влажности окружающей атмосферы 60 %.

### Результаты и их обсуждение

Твердотельное ЭХУ на основе пленки  $\text{MoO}_3$  окрашивается с образованием полосы поглощения с максимумом при 1.6 эВ (рис. 1), когда для окрашенной пленки  $\text{WO}_3$  характерна полоса с максимумом при 1.3 эВ. Однако введение в триоксид вольфрама небольшого количества оксида молибдена (до 10 мол. %) ведет к появлению межвалентного перехода с переносом заряда между ионами Mo и W в соседних узлах решетки, максимум соответствующей полосы поглощения находится при 2.1 эВ, т. е. почти совпадает с областью максимальной чувствительности человеческого зрения.

Как показывают кривые зависимости тока и светопропускания от напряжения (рис. 2), присутствие молибдена в пленке  $\text{WO}_3$  уменьшает электрохромную эффективность примерно 2-3 раза (см. таблицу). На кривых зависимости светопропускания ЭХУ от приложен-

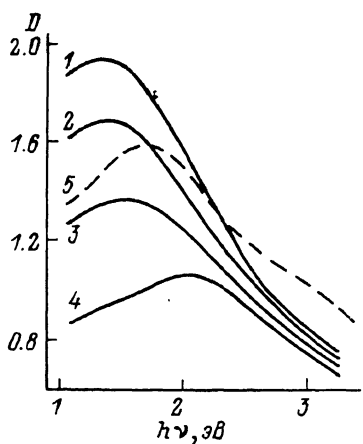


Рис. 1. Спектр наведенного окрашивания поглощения разных твердотельных ЭХУ.

1 — с пленкой  $\text{WO}_3$ , 2 — с пленкой  $\text{WO}_3/\text{MoO}_3$  (99 : 1), 3 — с пленкой  $\text{WO}_3/\text{MoO}_3$  (98 : 2), 4 — с пленкой  $\text{WO}_3/\text{MoO}_3$  (90 : 10),  
5 — с пленкой  $\text{MoO}_3$ .

ногого напряжения (рис. 2) также заметно, что увеличение концентрации молибдена в пленке  $\text{WO}_3$  ведет к уменьшению максимальной степени окрашивания и к увеличению остаточного наведенного поглощения (см. таблицу). Кроме того, примесь молибдена заметно увеличивает время сохранения окрашенного состояния пленки (рис. 3), что было обнаружено при исследовании окрашивания пленки  $\text{WO}_3 : \text{Mo}$ , нанесенной на подложку из металла палладия. На обратной стороне подложки электролитическим методом генерировался водород и его диффузия через палладий исследовалась наблюдением за окрашиванием пленки  $\text{WO}_3 : \text{Mo}$ . Длина импульса генерации 20 с, толщина палладиевой подложки 0.2 мм.

Потенциалы реакций окрашивания и обесцвечивания (максимумы тока на ВАХ на рис. 2  $U_1$ ,  $U_2$  и  $U_3$ ) определены соответствующими реакциями окисления—восстановления в ЭХУ на электродах  $\text{WO}_3$  и Au [4]. Максимумы тока  $U_1$  и  $U_2$  связаны с образованием и разрушением оксигидратов золота на границе раздела  $\text{SiO}_x/\text{Au}$ , следовательно, значения этих потенциалов

### Характеристики электрохромных устройств, полученных из разных электрохромных пленок

№ устройства	Электрохромная пленка, отношение $\text{WO}_3/\text{MoO}_3$	Потенциал окрашивания $U_1$ , В	Потенциал предварительного обесцвечивания $U_2$ , В	Потенциал обесцвечивания $U_3$ , В	Остаточное наведенное поглощение $D_x$	Средняя вероятность переходов	Электрохромная эффективность $\beta$ , Кл/см <sup>2</sup>	
							эксперимент	теория
1	$\text{WO}_3$	-1.3	-0.9	0.2	0.01	0.6	61	1620
2	$\text{WO}_3/\text{MoO}_3$ (99 : 1)	-1.4	-0.8	0.6	0.02	0.57	26	1540
3	$\text{WO}_3/\text{MoO}_3$ (98 : 2)	-1.4	-0.7	0.4	0.03	0.55	35	1500
4	$\text{WO}_3/\text{MoO}_3$ (90 : 10)	-1.5	-0.8	0.3	0.05	0.37	33	1000
5	$\text{MoO}_3$	-1.1	-0.6	0.6	0.02	0.4	48	1100

должны сохраняться для всех исследованных устройств. Максимум тока  $U_3$  связан с реакцией окисления окрашенной пленки  $\text{WO}_3$ : Mo и в зависимости от содержания молибдена должен меняться от значения 0.2 В для ЭХУ на основе пленки  $\text{WO}_3$  к 0.6 В для ЭХУ на ос-

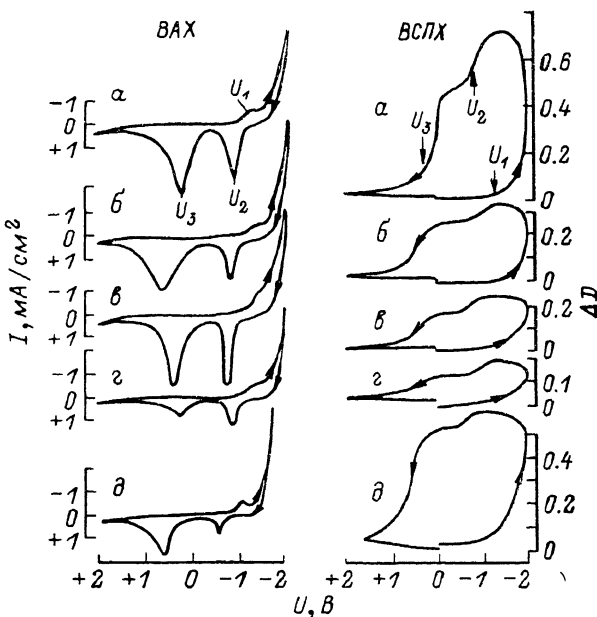


Рис. 2. ВАХ и ВСПХ разных твердотельных ЭХУ.

$\alpha$  — с пленкой  $\text{WO}_3$ ,  $\beta$  — с пленкой  $\text{WO}_3/\text{MoO}_3$  (99 : 1),  $\gamma$  — с пленкой  $\text{WO}_3/\text{MoO}_3$  (98 : 2),  $\varepsilon$  — с пленкой  $\text{WO}_3/\text{MoO}_3$  (90 : 10),  $\delta$  — с пленкой  $\text{MoO}_3$ .

нове пленки  $\text{MoO}_3$ . Как видно из экспериментальных результатов, приведенных в таблице, эти закономерности действительно наблюдаются, хотя имеется некоторый разброс, связанный с проблемой повторимости условий нанесения пленок.

Эксперимент показывает, что электрохромная эффективность твердотельного ЭХУ уменьшается примерно в 3 раза при введении молибдена в пленку  $\text{WO}_3$ . Авторы работ [6, 7, 13] пред-

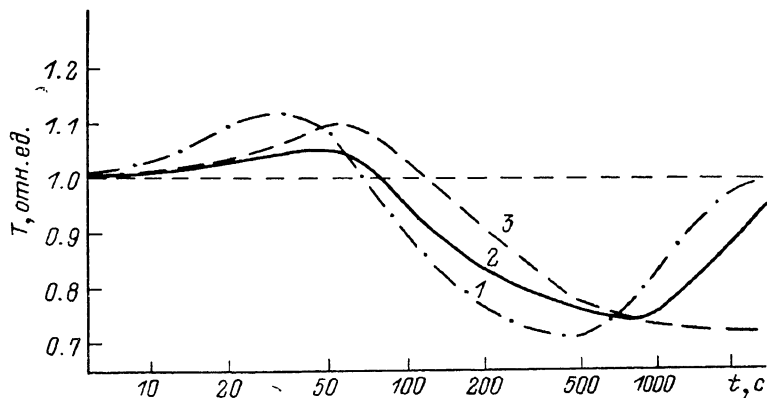


Рис. 3. Относительное изменение светопропускания пленок  $\text{WO}_3/\text{MoO}_3$ , напыленных на палладиевой подложке, после генерации в Pd водорода (начало генерации в момент  $t=0$  с, окончание после 20 с).

1 — пленка  $\text{WO}_3$ , 2 — пленка  $\text{WO}_3/\text{MoO}_3$  (99 : 1), 3 — пленка  $\text{WO}_3/\text{MoO}_3$  (90 : 10).

полагают, что уменьшение способности к окрашиванию пленок смешанного оксида связано с увеличением электрического сопротивления материала. Однако это не должно влиять на электрохромную эффективность, которая определяется как отношение количества наведенных центров окраски к заряду, прошедшему через пленку. Следовательно, причину понижения эффективности окрашивания следует искать в изменении природы электрохромных

центров окраски — в величине вероятности оптического перехода. Можно показать, что электрохромная эффективность  $\beta$  прямо пропорциональна вероятности оптического перехода (силы осциллятора), если пренебречь побочными реакциями. Как показано в работах [3, 8, 11], электрохромные центры окраски образованы электронами, локализованными на атомы W (Mo), а электронные переходы, ответственные за полосу в ближней инфракрасной области спектра, являются дипольно-разрешенными и связаны с переносом заряда между разновалентными ионами W, Mo или W и Mo. Причиной локализации введенных в пленке электронов является присутствие потенциальной ямы для  $5d^1$  (или  $4d^1$  в случае Mo) электрона из-за статической деформации в кислородном октаэдре и частично из-за эффекта поляризации. Формализм математического описания оптического перехода как в случае с переносом заряда, так и в случае присутствия поляризации (полярона малого радиуса) примерно один и тот же и ведет к однам и тем же зависимостям, примерно одной и той же формы полосы поглощения, близкой к гауссовой. Поэтому силу осциллятора оптического перехода  $f$  можно определить формулой Смакулы [14], связывающей макроскопические свойства поглощающего вещества (коэффициент поглощения в максимуме полосы  $\alpha_{\max}$  и полуширину полосы  $W_{1/2}$ ) с микроскопическими свойствами центров окраски

$$\alpha_{\max} \cdot W_{1/2} = \frac{2\pi^2 e^2 h}{mcn} (n^2 + 2)^2 \cdot N \cdot f, \quad (2)$$

т. е.  $\alpha_{\max} \cdot W_{1/2} = 0.259 \cdot 10^{-15} \cdot N \cdot f$ , если принять коэффициент преломления для пленки  $n$  равным 2.2 (в среднем). Здесь  $N$  — количество центров окраски в  $1 \text{ см}^3$  пленки. С другой стороны, максимальное значение наведенного поглощения можно выразить через коэффициент эффективности электроокрашивания (1) и величину заряда, необходимую для окрашивания  $1 \text{ см}^3$  пленки,

$$\alpha_{\max} = \frac{\ln 10 \cdot \beta \cdot N \cdot e}{d}, \quad (3)$$

где  $d$  — толщина пленки в см.

Тогда из зависимостей (2) и (3) при толщине пленки 0.0001 см следует, что

$$\beta \cong 2.7 \cdot 10^3 \cdot f, \quad (4)$$

где эффективность  $\beta$  измеряется в единицах  $\text{см}^2/\text{Кл}$ .

Следует отметить, что зависимость (4) справедлива для присутствия центров окраски одного типа с одной неспецифирующейся полосой поглощения. В нашем случае для пленки  $\text{WO}_3$  с примесью молибдена в окрашенном состоянии появляются даже три полосы (1.3, 1.6 и 2.1 эВ соответственно для переходов  $\text{W}^{5+} \rightarrow \text{W}^{6+}$ ;  $\text{Mo}^{5+} \rightarrow \text{Mo}^{6+}$  и  $\text{Mo}^{5+} \rightarrow \text{W}^{6+}$ ). Поэтому для оценки эффективности из зависимости (4) следует использовать значение средней силы осциллятора, найденной в виде суммы сил осцилляторов отдельных переходов, умноженных на концентрационный показатель (с учетом, что оптические переходы от ионов Mo могут осуществляться не больше чем на 6 соседних ионов W).

Самостоятельной проблемой является определение значений сил осцилляторов для отдельных переходов, поскольку необходимо знать истинную концентрацию центров окраски в пленке. Ни измерения заряда, прошедшего через пленку в процессе ее окрашивания, ни измерения ЭПР от парамагнитных центров окраски не дают истинное значение концентрации центров окраски (соответственно из-за присутствия побочных электрохимических реакций в процессе окрашивания и из-за участия локализованных на центрах окраски электронов в термически активированных прыжках [11]). Как показано нами в работе [11], только измерения статической магнитной восприимчивости дают истинные значения концентраций центров окраски в пленке триоксида вольфрама. Из этих измерений нами были получены следующие значения сил осциллятора оптических переходов: для  $\text{W}^{5+} \rightarrow \text{W}^{6+}$   $f_{WW} = 0.6$ , для  $\text{Mo}^{5+} \rightarrow \text{Mo}^{6+}$   $f_{MoMo} = 0.4$ , для  $\text{Mo}^{5+} \rightarrow \text{W}^{6+}$   $f_{MoW} = 0.2$ . Следовательно, примесь молибдена в аморфных пленках  $\text{WO}_3$  должна привести к уменьшению интенсивности наведенного окрашивания поглощения в полосе при 2.1 эВ примерно в 3 раза по сравнению с окрашиванием в полосе 1.2 эВ, что и видно на рис. 1. Однако экспериментальные значения эффективности, измеренные в белом свете, в тридцать, сорок раз меньше значений, определенных из зависимости (4), и средних значений сил осцилляторов (см. таблицу). Это частично можно объяснить присутствием побочных электрохимических реакций, токами утечки в процессе окрашивания ЭХУ. Устранением упомянутых причин путем усовершенствования конструкции ЭХУ, очевидно, значительно можно увеличить электрохромную эффективность устройств.

## Заключение

Присутствие молибдена в пленке  $\text{WO}_3$  ведет к перемещению максимума полосы наведенного поглощения в удачную для человеческого зрения область, а также к увеличению остаточного наведенного поглощения и времени сохранения окрашенного состояния. Электрохромная эффективность твердотельных электрохромных устройств с электрохромными пленками из смешанного оксида  $\text{WO}_3/\text{MoO}_3$  меньше, чем для ЭХУ с пленкой  $\text{WO}_3$ . Основной причиной уменьшения электрохромной эффективности является низкое значение силы осциллятора (вероятности перехода) оптического перехода  $\text{Mo}^{5+} \rightarrow \text{W}^{6+}$  по сравнению с переходом  $\text{W}^{5+} \rightarrow \text{W}^{6+}$ .

## Список литературы

- [1] Shimizu I., Shizukuishi M., Inove E. // J. Appl. Phys. 1979. Vol. 50. P. 4027—4032.
- [2] Haimoto Y., Matsushima M., Ogura S. // J. Electron. Mater. 1979. Vol. 8. P. 301—309.
- [3] Deneuville A., Gerard P., Billiat R. // Thin Solid Films. 1980. Vol. 70. P. 203—223.
- [4] Лусис А. Р., Клявинъ Я. К., Клеперис Я. Я. и др. // Электрохимия. 1982. Т. 18. № 11. С. 1538—1542.
- [5] Lusis A. R., Kleperis J. J., Brishka A. A., Pentyush E. V. // Sol. St. Ionics. 1984. Vol. 13. P. 319—324.
- [6] Faughnan B. W., Crandall R. S. U. S. Patent. Cl. 350/160 R. G02B 5/23. N4009935. Mart 1, 1977.
- [7] Faughnan B. W., Crandall R. S. // Appl. Phys. Lett. 1979. Vol. 31. P. 834—836.
- [8] Schirmer O. F., Wittwer V., Brandt G. // J. Electrochem. Soc. 1977. Vol. 124. P. 749—756.
- [9] Salje E., Hopmann G. // Philos. Mag. B. 1984. Vol. 43. P. 105—114.
- [10] Schel E. K., Gittleman J. G. // Appl. Phys. Lett. 1978. Vol. 33. P. 564—566.
- [11] Цикман П. Д., Лусис А. Р. // Изв. АН ЛатвССР. Сер. физ. и техн. наук. 1985. № 2. С. 62—69.
- [12] Deb S. K. / Mat. Ann. Conf. «Solid State Devices». New York, 1974. P. 12—15.
- [13] Hopmann G., Salje E. // Opt. Commun. 1979. Vol. 30. P. 199—202.
- [14] Smith D. Y., Dext'r D. L. Optical Properties of Solids / Ed. F. Abeles. Amsterdam: North-Holland Publishing Co, 1972. P. 166—228.

Латвийский государственный университет  
им. П. Стучки

Научно-исследовательский институт  
физики твердого тела  
Рига

Поступило в Редакцию  
11 января 1989 г.

В окончательной редакции  
1 сентября 1989 г.

01; 10

Журнал технической физики, т. 60, в. 7, 1990

© 1990 г.

## О ЗАСЕЛЕННОСТИ КВАНТОВЫХ СОСТОЯНИЙ КАНАЛИРОВАННЫХ ЧАСТИЦ

Б. П. Кощеев

Известно [1, 2], что зависимость заселенности уровней от глубины проникновения канализированной частицы (КЧ) в кристалл определяется из решения квантового кинетического уравнения.

В настоящей публикации вычисляется заселенность квантовых состояний исходя из первых принципов.

Рассмотрим эффект плоскостного канализирования. Движение КЧ от одного акта рассеяния до другого происходит в поле, образованном непрерывным потенциалом атомных плоскостей. Процесс рассеяния приводит к изменению за время  $\tau$  поперечной скорости КЧ на величину  $v_\perp$ . Длительность толчка  $\tau$ , время между столкновениями  $t_s$  и период движения  $T$  ограничены неравенствами

$$T \gg t_s \gg \tau. \quad (1)$$

В этом случае волновые функции поперечного движения КЧ до и после акта рассеяния связаны между собой преобразованием Галилея [3].